

PAPER DETAILS

TITLE: Saydam Organik Maddelerin Yönlendirilmiş Olarak Katılalastırılması

AUTHORS: Bengü KAPLAN,Mehmet GÜNDÜZ

PAGES: 770-789

ORIGINAL PDF URL: <https://dergipark.org.tr/tr/download/article-file/252389>

SAYDAM ORGANİK MADDELERİN YÖNLENDİRİLMİŞ OLARAK KATILAŞTIRILMASI

Bengü Kaplan, Mehmet GÜNDÜZ
Erciyes Üniversitesi, Fen-Edebiyat Fakültesi, KAYSERİ

ÖZET

Katilaştırma parametreleri (G : Sıcaklık Gradyenti, V :Katilaşma Hızı) ile yapı parametresi (λ : Dendrit ana kollar arası mesafe) arasında bağıntıyı ve katı-sıvı faz dönüşümünü incelemek için bir deney sistemi kuruldu. Deney sistemi farklı sıcaklık gradyenti ve farklı katilaştırma hızlarında deney yapmayı ve katilaştırma olurken katılaşmanın fotoğrafının çekilmesiyle farklı saydam organik için yapı parametrelerinin ölçülmesini sağlamaktadır.

Saydam organik maddelerde katı-sıvı faz dönüşümü incelendi. Bu incelemelerden G ve V 'nin katilaşma şecline etki ettiği, artan G ve V ile λ 'nın küçüldüğü görüldü.

λ ile G arasındaki bağıntının

$$\lambda = kG^{-1/2} \quad (k:\text{Sabit})$$

şeklinde olduğu ve bu sonucun diğer araştırma sonuçlarıyla uyum hinde olduğu görüldü [1-10].

DIRECTIONAL SOLIDIFICATION OF TRANSPARENT ORGANIC MATERIALS

ABSTRACT

In order to investigate the solid-liquid phase transformation, and to find the relationship between growth parameters (G : Temperature Gradient, V : Growth Velocity) and the structure parameter (λ : Primary Dendrite Spacing) an experimental system was constructed. The system allows to do experiment with different G and V and allows to

determine λ for different materials by taking photograph of solidification front insitu.

It was shown that the solidification front was effected by G, V and λ decreased with increasing G, V. The relationship between λ and G was found to be

$$\lambda = kG^{-1/2} \quad (k:\text{Constant})$$

and this result agree quite well with the other workers result [1-10].

1. GİRİŞ

Katilaştırma sıvıdan katıya bir faz değiştirmeye olayıdır. Bu faz değiştirmeye olayı hemen hemen insan yapımı olan her alet ve malzemenin en azından bir safhasında karşıımıza çıkar. Alet ve malzeme üretiminin en ekonomik yolu alaşımalarla döküm yapma ve kaynak yapmakla olmaktadır. Döküm ve kaynak olayında katıllaşma, katı-sıvı arayüzeyi önündeki sıcaklık gradyentine, G_L , katıllaşma hızına, V ve alaşının ilk kontrasyonuna, C_0 , bağlı olarak düzlemsel arayüzeyle olduğu gibi hücresel ve dendiritik yapıylarda olmaktadır. Hücresel ve dendiritik katıllaşma sonucu dökümde oluşan yapısal homojensizlikler önemli ölçüde malzemenin mekanik özelliklerine etki eder. Bu sebepten dolayı da düzlemsel, hücresel ve dendritik katılmanın anlaşılması, döküm ve kaynak olayının ve dolayısı ile malzemenin özelliklerinin anlaşılmasında yardımcı olur.

Çekirdeklenmenin (ilk katılşmaların) olabilmesi için yeterince aşırı soğumanın (termodinamik sürücü kuvvetin) olması gerekmektedir. Bu aşırı soğuma sağlandığında çekirdeklenme oluşur ve ilk katı parçacıklar aşırı soğutulmuş sıvı içinde büyürler. İlk katılşan kısmın kontrasyonu C_0 konsantrasyonunun altında oluşur, dolayısı ile bir kısım çözünen madde sıvı içine itildiğinden arayüzeyde çözünen madde artar. Çözünürse zenginleşen arayüzeyde, arayüzey sıcaklığı düşer. Eğer arayüzeydeki sıcaklık gradyenti kritik sıcaklık gradyentinden

daha küçükse katılaşan sıvı, katıllaşma denge sıcaklığının altında olur, yani aşırı soğutulmuş olur. Eğer arayüzeyin önündeki sıcaklık gradyenti kritik gradyentten daha büyükse arayüzey sıcaklığı, normal sıcaklığın üstünde olacak ve katılaşan kısım tekrar erimeye başlayacaktır. Eğer düzlemsel arayüzeyin önündeki sıcaklık gradyenti yavaş yavaş kritik sıcaklığın altına düşürülürse, düzlemsel arayüzeyde ilk çıkışlıkların olduğu görülür (Şekil-1), yani hücresel katıllaşma başlar. Başlangıçta hücresel olan katıllaşma zamanla katı-sıvı arayüzelerinin kararsız olmalarından dolayı çıkışlıklar (dallanmalar) oluştururlar. İlk dallanmalar (ana kollar) büyürken ana kolların arayüzeleri kararsız hale gelir ve ikinci kolların, aynı sebepten ikinci kollarda üçüncü kolların meydana gelmesine sebep olur [1].

Alaşımların hücresel ve dendiritik katılmasını incelemeye daha çok tercih edilen ve güvenilir sonuçlar veren katılma modeli "Kontrollü şartlar altında tek yönlü katılma" biçimidir. Bu sahada yapılan çalışmalar göstermiştirki,

- a) Katılma hızı, V , sıcaklık gradyenti, G , ve maddenin konsantrasyonu, C_0 , katılma olayını tanımlayan ve kontrol edebilen parametrelerdir [2-7].
- b) Genellikle katılma şartları sabit kaldığı zaman kararlı bir katılma olmaktadır [3,8].
- c) Kararlı hücresel ve dendiritik katılmadada uç sıcaklığı ve konsantrasyonu ile hücre ve dendritin uç yarıçapları zamanın bağımsız olmaktadır. Bu sebepten, numuneden ölçülebilen uç yarıçapları, r , ile uç sıcaklık farkı, ΔT , ve uç yarıçapları konsantrasyonu arasında bağlantı kurmak mümkün olmaktadır [9-17].

"Kontrollü şartlar altında tek yönlü katılma" teknigini kullanarak, katılma parametreleri (GL , V , C_0 , ΔT) ile yapı parametreleri (λ_1 : Ana kollar arası mesafe, λ_2 : İkinci kollar arası mesafe, r : Dendrit uç yarıçapı) arasındaki bağıntıları incelemeye metalik ala-

şımlar yerine saydam organik numuneler kullanmak, katıllaşma olayının anlaşılması ve λ_1 , λ_2 , r ölçümlerinin daha hassas olarak yapılmasını sağlamaktadır.

2. DENEY SİSTEMİ

Katilaşturma parametreleri ile yapı parametreleri arasında güvenilir, bağıntılar elde edilebilmesi için; kontrollü şartlar altında tekyönlü katilaşturma sağlanmalı, V ve G_L ile beraber λ_1 , λ_2 ve r de hassas olarak ölçülebilмелidir. Bu özellikleri sağlayacak olan bir deney sisteminde en önemli faktörler şu şekilde sıralanabilir.

- Deney sistemi, farklı sıcaklık gradyenti ve farklı katilaşturma hızları sağlayabilmelidir. Seçilen sıcaklık gradyenti ve katilaşturma hızı deney süresince sabit kalabilmektedir.
- Deney sistemi parametrelerin (λ_1 , λ_2 , r) hassas olarak ölçülmeyi saglamalıdır. Başka bir deyişle saydam organik maddelerle çalışıldığında yapı parametreleri, katilaşturma fotoğrafı çekilmek suretiyle tesbit edilebilmelidir.

Saydam maddelerin katilaştırılmasını incelemek için kurulan deney sistemi Şekil-2 de gösterilmektedir ve esas olarak ısıtıcı, numune, soğutucu, sürücü motor ve fotoğrafik ünitesinden oluşmaktadır. Deney sistemi farklı sıcaklık ve farklı katilaşturma hızları sağlayabilmekte, seçilen bir sıcaklık gradyenti ve katilaşturma hızı deney süresince sabit kalabilmekte ve yapı parametrelerinin hassas olarak ölçülmeyi saglanmaktadır. Saydam organik maddelerle çalışıldığında, yapı parametreleri katilaşturma olurken tesbit edilmektedir (Fotoğrafı çekilmektedir).

2.1. ISITICI SİSTEM

İki parçadan meydana gelen, sistemin her iki parçasının yapımında sabun taşı (paraphilite) kullanılmıştır. Alt ve üst parçalar içine

sıkıca gelecek şekilde yapılmış, alt parçasının tabanına ve üst parçasının içine 1,2 mm'lik matkap ucu ile 0,5 mm'lik aralıklarla delikler açılmıştır. Bu deliklerden geçirilen direnç telleri ile ısıtıcı sistemin tabanı ve üst parçasının alt yüzünde ısıtıcı levhalar oluşturulmuştur. Alt ve üst parçasının dirençleri birbirlerine seri olarak bağlanarak, ısıtıcı elde edilmiştir. Üst ısıtıcı levha alt ısıtıcı levhaya sıkı şekilde geçmektedir. Numunenin homojen bir ısı ortamında olabilmesi için numune kalibi ile ısıtıcı arasına metal levha konmuştur. Isıtıcı sistem doğrudan D.C. güç kaynağuna bağlanarak ısıtma sağlanmış, güç dalgalanmalarını, dolayısı ile sıcaklık değişimlerini önlemek için D.C güç kaynağı regülatöre bağlanmıştır.

2.2. SOĞUTUCU SİSTEM

Soğutucu sistem şekil olarak ısıtıcı sistem ile aynı olup alüminyumdan yapılmış, alt soğutucunun yanları ve arkasının iç yüzlerine ve ayrıca üst soğutucu parçasının üstüne (içinden su geçen) bakır boru lehimlenmiştir. Soğutucu sistem ile ısıtıcının aynı kalınlıkta olmasına bilhassa dikkat edilmelidir, aksi takdirde mikroskopta katilaştırma filmi çekmek kolay olmayacağından emredilir. Bu deney sisteminde hareketli olan kısım soğutucu kısımdır. Soğutucunun arkasının ortasına pişirinçten yapılmış 0,4 cm kalınlığında 4,5 cm uzunluğunda bir vida lehimlenmiştir. Bu vidaya uygun olarak yapılan somun, sürücü motora bağlıdır. Sürücü motora bağlı olan somun döndükçe, soğutucuya bağlı olan vidayı çekmekle (veya itmekle) soğutucuyu hareket ettirmektedir. İşte bu itme hareketi, yani soğutucunun numunenin erimiş kısmına doğru ilerlemesi katilaştırmayı sağlar. Sistemin sıcaklığı ve sıcaklık gradiyentleri Nickel Chromium/Nickel Aluminium termokupplarla (termal çiftlerle) ölçülmüştür. Termokuppların sıcak bölgede olan uç noktaları kaynakla birleştirilmiş, diğer uçlarda buz-su karışımı içinde olan ince cam borulara yerleştirilmiştir. Buz-su karışımının sıcaklığının, termokupl uçlarına aynı şekilde etki etmesi için, ince cam borular içine metil alkol konmuştur. Metil alkol içine giren uçlar izole edilmiş bakır telle temas ettirilmiş ve bakır telin diğer uçlarında 1 μ V'luk hassasiyetle ölçü yapan, 893A AC-DC voltmetreye

bağlanmıştır. Isıtıcı ve soğutucu sistem sürücü motorla beraber mikroskoba yerleştirilen ve istenildiğinde kolayca mikroskoptan ayrılabilen 2 mm kalınlığında çelikten hazırlanan bir tabla üzerine yerleştirilmiştir. Bu sistem mikroskop altına yerleştirilmiş ve hazırlanan numune sıcaklık gradyenti sistemine (isıtıcı-soğutucu sistem arası) yerleştirilmiştir. Katılışma olayı doğrudan BH-2 Olympus metal mikroskopuya gözlenmiş ve mikroskoba bağlı (Olympus Photomicrographic System MODEL PM-10 AD) fotoğraf ünitesiyle katılışmanın fotoğrafları çekilmiştir.

3. DENEY TEKNİĞİ

Metalik alaşımında katılışma aniden soğutma ile durdurulduğunda katı-sıvı arayüzey şekli aynı kalmakta, yani katılışma şeklini korumaktadır. Organik maddelerin ısı iletkenlik katsayılarının düşük olmasından aniden soğutma ile organik maddeler katılışma şekillerini olduğu gibi koruyamamaktadırlar. Bu sebepten organik maddelerin katılışmasının, katılışma olurken gözlenmesi gerekmektedir. Yani katılışma olayı mikroskopla gözlenmelidir. Yönlendirilmiş katılıştırmayı sağlayabilmek ve katılışmayı mikroskopla gözleyebilmek için numunenin saydam maddelerden yeterince ince olarak hazırlanması gerekmektedir.

3.1. NUMUNE HAZIRLAMA

24x32x0.1 mm boyutlarındaki lam üzerinde kapalı olması düşünülen uçtan itibaren 5 mm aralıklarla 3 adet (nickel chromium / nickel aluminium) termokuppları yerleştirildi. Bunun üzerinde 24x32x0.1 mm boyutlarındaki lamlar 0.1-0.3 mm kalınlığında numune verecek şekilde yapıştırılarak numune kalipleri hazırlandı (Şekil-3). Hazırlanan numune kalibri, numune ile beraber etüve konarak erimiş numune sıcaklığında olması sağlanmıştır. Sonra numune kalibinin açık ucunun bir kenarı erimiş numuneye deşdirilerek kılcallık etkisi ile numune kalibinin dolması sağlanmıştır. Dolan kalıp etüv dışına alınarak katılıştırdı ve sonra mikroskopaktaki sıcaklık gradyenti sistemine yerleştirildi. D.C. güç kaynağı ile isıtıcının sıcaklığı artırılarak numunenin erimesi

saglandı. Her üç termokupl da sıvı içinde kalınca yarınlık saat kadar sistemin o halde kalarak dengelenmesi sağlandı. Sürücü motorun çalıştırılması (veya ısıtıcının durdurulması) ile katılışturma başlatıldı. Sürücü motorun hızı arttıkça katılışma hızı da artmaktadır. Ama hızlar arasında her sıcaklık gradyenti için bilinen bir lineer bağıntı yoktur (Tablo-1).

3.2. KATILAŞTIRMA HIZININ ÖLÇÜLMESİ

Katılışma hızının hassas olarak ölçülebilmesi için kararlı yönlendirilmiş katılıştırmancılarının olması sağlanmıştır. Kararlı katılışma mikroskopla gözlenmiş ve katı-sıvı arayüzey ikinci termokupl (B) hızasına gelince kronometre çalıştırılmış ve arayüzey üçüncü termokupl (C) hızasına geldiğinde durdurulmuştur. İki termokupl arasında geçen sürenin bilinmesi ve aradaki mesafenin hassas olarak ölçülmesinden katılışma hızı bulunmuştur (Tablo-1). Tabii bu arada katılışma fotoğrafları da çekilmiştir.

3.3. SICAKLIK GRADYENTİNİN ÖLÇÜMMESİ

Sıcaklık gradyentinin güvenilir olarak ölçülebilmesi için deneylerde Benzophenone'nin erime noktasına göre kalibre edilen ve aynı erime sıcaklığını gösteren termokupplar kullanıldı. Kararlı halde katılanan numunenin sıcaklığı her üç termokupplla hemen hemen aynı zamanda ölçüldü. Katı-sıvı arayüzeyine degmekte olan termokuppl (B) ile ucun önündeki sıvı içindeki termokupplun (C) ölçüldüğü sıcaklık ve bu termokupplar arasındaki mesafeden faydalananarak katılışma önündeki sıvının sıcaklık gradyenti ölçüldü (Tablo-1).

3.4. ANA KOLLAR ARASI MESAFENİN ÖLÇÜLMESİ

Metalik maddeler normal şartlarda katılışma şeklini hemen hemen korurlar, ancak bunu saydam organik maddelerde gözlemek mümkün olmamaktadır. Bunun içinde katılışma olurken katılışmanın fotoğrafları fotoğrafik sistemin kontrol ünitesi yardımıyla (800 ASA ile) çekile-

rek katılışma anında kaydedilmiştir. Negatif film üzerinde ölçme yapma yerine, negatif görüntüler arandizörden grafik kağıdı üzerine düşürülerek elde edilen görüntülerden ölçmeler yapılmıştır. Ölçmelerde herhangi bir büyütme hatasına yer vermemek için katılışma fotoğraflarının çekildiği gibi 0,5 mm bölmeli cetvelinde aynı büyütme ile fotoğrafı çekilmiş ve cetvelin negatif filmi de aynı katılıştırma negatifleri gibi arandizörden grafik kağıdı üzerine düşürülmüştür. Ölçmelerin kolay olabilmesi için gerçekte 1 mm olan cetvel bölmesinin arandizör büyütmesi ile 100 mm olması sağlanmıştır. Arandizörde görüntüleri grafik kağıdı üzerine düşürülerek ölçümleri yapılan anakollar arası mesafeler Tablo-2'de verilmiştir.

4. BULGULAR VE TARTIŞMA

4.1. MALZEME SEÇİMİ

Kontrollü şartlar altında tek yönlü katılışmayı sağlayabilmek ve katılışmayı mikroskopla gözleyebilmek için numunenin düşük erime sıcaklığındaki saydam organik maddelerle ince (0,1-0,3 mm) olarak hazırlanması gerekmektedir. 100 °C civarında numune kalibi hazırlamada kullanılan yapıtırıcılar bozulmakta ve madde dışarı sızmaktadır. Numuneden madde sızıntısı olunca içerisinde hava kabarcıkları oluşmaktadır ve bunlarda yönlendirilmiş katılıştmaya etki etmektedir (Şekil-4b). Bunun içinde bu çalışmada Benzophenone ($C_{13}H_{10}O_1$), Benzamide(C_7H_7NO), DL Mandelik asit ($C_8H_8O_3$), Maleik asit ($C_4H_4O_4$), Sulfosalisilik asit ($C_7H_6O_6S \cdot 2H_2O$), Naftilamin ($C_{10}H_9N$) (Renkli) ve Parafin ($C_nH_{2n+2}, n = 18$) ile deneyler yapılmıştır. Benzamide ($T_e : 124-128^\circ C$), DL-Mandelik asit ($T_e: 118^\circ C$), Sulfosalisilik asit ($T_e: 108-112^\circ C$) ve Maleik asit ($T_e : 128-129^\circ C$) maddeleriyle numune hazırlarken, numune kalibinin yapıtırıcıları eridiğinden bu maddelerle istenilen homojenlik ve büyülükte numune hazırlanamamıştır. Hazırlanan numunelerin de incelenmesi oldukça güçtür. Bu maddeler çok uçucu olduğundan numune belirli bir süre sonra ilk özelliğini kaybetmekte, yapıtırıcıların bozulmasından yanlardan sızıntı olmaktadır ve bunun sonucu numune içinde gaz kabarcıkları oluşmaktadır (Şekil-4b).

Sulfosalisilik asit ve Naftilamin eriyince bile yeterince saydam olmadıklarından katılışmaları ışık mikroskopuya gözlenmemektedir. Parafin ise uçucu bir madde olduğundan mikroskop altında inceleme için kullanılması mümkün olmamıştır. Çünkü kısa zamanda parafin buharı mikroskop merceklerini örtmekte, katılışma olayını gözlenemez hale getirmektedir. Benzophenone'nun erime noktasının düşük olması (T_e : 47-49 °C), buharlaşmaması ve saydam olması nedeniyle farklı sıcaklık gradyenti ve farklı katılışturma hızlarında katılışturma deneyleri yapılmış ve bu deneylerin fotoğrafları çekilebilmüştür. Mesafeler mikroskopla 0,1 mm hassaslıkta ve zaman da kronometre ile 0,2 sn. hassaslıkta ölçüldüğünden hız ölçümlerinde yapılan bağıl hata %1 den küçüktür. Sıcaklıklar, kalibrasyonu yapılmış termokupplarla 1/40, mesafeler de 0,1 mm hassasiyetle ölçüldüğünden, sıcaklık gradyentine ölçmelerden gelen bağıl hata %1 den küçüktür. Ancak her iki termokupplun sıcaklığı aynı voltmetre ile (2-3 sn.) aralıkla ölçüldüğünden belki burada gecikmeden ileri gelen ufak bir hata olabilir ve bu hata da bir potansiyometre yazıcı sistemi ile giderilebilir.

4.2. ISI AKIŞININ ETKİSİ

Eğer ısı akışı belirli bir yönde olmazsa, yani sıcaklık gradyenti yalnız ısıtıcı ve soğutucu sistem arasında değil de yanlara doğru da olursa Şekil-5'de görüleceği gibi yandan normal katılışma üzerine doğru, katılışmanın olduğu gözlenir. Bu halde kararlı katılışma bozulup yerine düzensiz katılışma olmaktadır. Başka dikkat çeken bir hulus ergime olayının katılışında olduğu gibi keskin katı-sıvı arayüzine sahip olmamasıdır (Şekil-6).

4.3. DÜZLEMSEL VE HÜCRESEL KATILAŞMA

Saydam organik maddelerin katılışmasının fotoğrafı çekilerek katılışma anında kayıt edilebilmektedir. Katılışma hareketli ve mikroskopun ışığı sınırlı olduğundan normal fotoğraf çekimi 3-5 saniye kadar zaman almakta dır. Tabii bu arada katı-sıvı arayüzeyinin de net olarak

fotoğrafı çekilememektedir. Onun içinde fotoğrafik sistemin kontrol ünitesi yardımıyla fotoğraflar normal 125 ASA yerine 800 ASA ile çekilerek, fotoğraf çekme zamanı yaklaşık 1/10 oranında küçültülmüş ve böylece net katılışma fotoğrafları çekilebilmiştir.

En az iki termokupplda ergimiş madde içinde tutularak ısıticinin sıcaklığı arttırılmıştır. Sonra bu halde numune yarınlık saat kadar bekletilip ya ısıticinin sıcaklığının düşürülmesi ya da sürücü motorun çalıştırılması ile katılışma olayı başlatılmıştır. Şekil-7'den görüleceği gibi ilk katılışma esdeğer ısı çizgilerine paralel olarak düzlemsel şekilde olmaktadır. Az sonra da katı-sıvı arayüzeyindeki kararsızlıktan ilk çıktılar meydana gelmekte ve bu çıktılar ana kolları (hücreleri) meydana getirmektedir. Şekil-8a'da görüldüğü gibi katılışma kararlı hale geçerken ve Şekil-8b'de görüldüğü gibi ana kollar arasında sıvı kaldığı zaman, uçlar keskin kırık çizgilerle ayrılmaktadır. Bu da katılışmanın henüz tam kararlı hale olmadığını göstermektedir. Katılışma kararlı hale geldiğinde, aralarındaki sıvılar ve küçük çıktılar yok olmakta, katılışma hücresel şekilde devam etmektedir (Şekil-9). Ancak bu hücrelerin uçları, metallerdeki veya metalik özellik gösteren organik maddelerdeki hücrelerin uçları gibi parabol eğrileri ile ifade edilecek şekilde sürekli eğriler [3, 18] yerine kırık çizgilerle ifade edilen ok gibi sivri uçlar oluşturur. Buna da sebep mevcut katı üzerine yeni katı eklenmesinde enerji engelinin olmasıdır ve bu sebepten dolayı yeni katıların eklenmesi ancak kristalografik düzlem boyunca olmaktadır, yani sıvı ucun yan yüzlerine olmakta dolayısıyla katılışma da bu düzlemlere dik olmaktadır [19, 20].

4.4. BULGULARIN TARTIŞILMASI

Şekil-10'dan da açıkça görüleceği gibi sıcaklık gradyenti arttıkça ana kollar arasındaki mesafeler küçülmektedir. Sıcaklık gradyenti ile ana kollar arasındaki mesafeyi incelemek için Benzophenone ile yapılan deney sonuçları Tablo-2'de verilmiştir. Tablo-2'den de görüleceği gibi katılışma hızlarındaki değişiklikler küçük olduğundan ana

kollar arası mesafeye olan etkisi ihmal edilebilir. Bu sebepten ana kollar arasındaki mesafeye etkinin yalnız sıcaklık gradyentinden geldiği düşünülebilir. Aynı sıcaklık gradyenti ve aynı katılışma hızı için ölçülen λ değerlerinde farklılıklar gözlenmekte ve bazen bu farklılıklar oldukça büyük olabilmektedir. Bunun sebebi numune içindeki kirlilikler (yabancı maddeler) ve bu kirlilikten dolayı ısı akışı ve madde yapısındaki değişimler olabilir. Tablo-2 deki her bir sıcaklık gradyenti için bulunan ortalama sonuçların logaritmik değeri Tablo-3'de verilmiş bu değerlere ait grafik Şekil-11'de çizilmiştir. Şekil-11'den görüleceği gibi ana kollar arası mesafelerin ve sıcaklık gradyentinin logaritmik değerlerinin grafiği bir doğru vermektedir. λ ve G arasındaki bağıntı

$$\lambda = kG^a \quad (k = \text{Sabit}) \quad (1)$$

şeklinde ifade edilir ve bu ifadelerin logaritması alınırsa;

$$\ln\lambda = a\ln G + \ln k \quad (2)$$

elde edilir ki bu da $y = mx + b$ şeklinde ifade edilebilen bir doğru denklemi verir. Şekil-11'deki $\ln\lambda$ 'nın $\ln G$ 'ye karşı grafiğinden, doğrunun eğimi $m = a = -0.5$ ve $\ln k = b = -3.45$ olarak bulunur. Bu halde (1) denklemi

$$\lambda = kG^{-1/2} \quad (3)$$

şeklinde ifade edilebilir. Katılışma hızının etkisi de dikkate alınarak, katılışma hızı ve sıcaklık gradyentinin ana kollar arası mesafe ye etkisi incelenebilir. Bu halde G ile V arasındaki bağıntı

$$\lambda = k(GV)^a \quad \lambda = k\left(\frac{T}{t}\right)^a \quad (4)$$

şeklinde ifade edilebilir. Boyut analiziyle $G_L V$ 'nin sıcaklık/zaman boyutunda olduğu yani $G_L V$ 'nin soğutma hızı olduğu görülür. Bir

başka deyişle, GV ile λ arasındaki bağıntıyı incelemek, soğutma hızı ile ana kollar arasındaki bağıntıyı incelemek demektir. Tablo-3 ve Şekil-12'den görüleceği gibi, $\ln\lambda$ ile $\ln(GV)$ arasındaki bağıntıyı veren doğrunun eğimi yine -0.5'e eşittir ve değerlerin bu egriden sapmaları $\ln G$ ve $\ln\lambda$ değerlerine göre daha azdır (Şekil.11-13). Tablo 1-3 ve Şekil.10-11'den görüleceği gibi (3) bağıntısı, sabit katılışma hızında, sıcaklık gradyenti arttıkça ana kollar arası mesafenin küçüldüğünü ve (4) bağıntısında, katılıştırmada, soğutma hızı arttıkça ana kollar arası mesafenin küçüldüğünü göstermektedir. Bu sonuçlar metalik sisteme ait soğutma hızı ile λ arasındaki sonuçlarla uyum içindedir [2-10], ancak eğim -0.5 yerine -0.2 - 1.0 arasında değişmektedir [21,22]. Bu da bize saydam organik maddelerin, katılışma olayını incelemeye model olarak kullanabileceğini göstermektedir.

SONUÇ

Katılışturma parametrelerinin, yapı parametreleri ile olan ilişkisini incelemek için kurulan deney sistemi, farklı sıcaklık gradyentleri, farklı katılıştırma hızları sağlayabilmekte ve bu değerler hassas olarak ölçülebilmektedir, yani yapı parametreleri hassas olarak elde edilebilmektedir. Ancak bu çalışmada seçilen maddelerin özelliğinden dolayı r ile katılıştırma parametreleri arasındaki bağıntının incelenmesi mümkün olamamıştır. Succinonitrile gibi metalik özelliklerle katılanan maddelerin seçimiyle r ile yapı parametreları arasındaki bağıntıyı incelemek mümkün olacaktır. Esas zorluk numune kalibi hazırlamaktan kaynaklanmaktadır. Çünkü numunedeki kullanılan yapıştırıcılar ve izola bantlar belirli bir sıcaklıktan sonra erimekte, seramik kalıp maddesi ve algıda erimiş maddeyi sızdırmaktadır. Sıvı yapıştırıcı ve izola bantları $T_e = 70$ °C ye kadar olan maddelerin katılışı incelenebilir. Ancak sıcaklığı dayanıklı yapıştırıcılarla veya herhangi bir şekilde yüksek sıcaklığı dayanıklı numune kalibi hazırlanabilirse, rahatlıkla 250 °C'ye kadar olan saydam organik maddelerin bu deney sistemi ile katılışları ve katılışma parametreleri ile yapı parametreleri arasındaki bağıntılar incelenebilir.

KAYNAKLAR

- [1] W.Kurz, D.J.Fisher; Fundamentals of solidification Trans.Tec. Pub. P.P. 65-88, (1984).
- [2] R. Albermy, J.Serra ve M.Turpin; M.Trans. AIME 245,55, (1969).
- [3] J.D. Hunt; Solidification and casting of Metals, Metals Society, 3, (1979).
- [4] T. Okamoto ve K. Kishitake; J.Cryst.Growth 29, 131, (1975).
- [5] S. C. Huang ve M.E.Glicksman; Acta Metall 29,701, (1981).
- [6] R. Trivedi ve K. Souboonsuk; Materials Science and Engineering. 65, 65-74, (1984).
- [7] İ. Varol, A. Altımişoğlu ve E. Ergin; 1.Ulusal Döküm Simpozyumu Bildiriler Kitabı s.35, Eylül-1981, İstanbul
- [8] D. G. Mc Cartney; D.Phil Thesis, Oxford University (1981).
- [9] J. J. Kramer, G. F. Bolling ve W. A Tiller; Trans. Metall. Soc. AIME. 227, 374, (1963).
- [10] R. M. Sharp ve A. Hellawel; J. Cryst. Growth 6, 253, (1970).
- [11] M. H. Burden ve J. D. Hunt; J. Cryst. Growth 22, 99, (1974).
- [12] M. H. Burden; D. Phil Thesis University of Oxford (1974).
- [13] K. Souboonsuk, J. T. Mason ve R. Trivedi; Metallurgical Trans. A, 15A, 967, (1984).
- [14] W.Kurz ve D. J. Fisher; Acta Metall. 21,11, (1981).

- [15] R. Trivedi; Metallurgical Trans. 15A, 977, (1984).
- [16] K. Souboonsuk ve R.Trivedi; Acta Metall, 33, 1051, (1985).
- [17] M. E. Glicksman ve P. W. Voorhees; Metallurgical Trans. 15A, 995, (1984).
- [18] R. Elliot; Eutectic Solidification Processing P. P. 241, Butter worths and Co.Ltd., (1983).
- [19] R. Elliot; Eutectic Solidification Processing P.P. 121 ,Butter worths and Co.Ltd., (1983).
- [20] J. D. Hunt ve D. T. J. Hurle; Trans. Metall. Soc. AIME 242, 1043, (1968).
- [21] J. D. Coulthard ve R. Elliot; J. Inst. Metals, 95,21, (1967).
- [22] D. G. Mc Cartney ve J.D.Hunt; Acta Metall. 29,1851, (1981).

Tablo-1. Farklı Sıcaklık Gradyentleri ve Farklı Süreçü
Motor Hızlarında Ölçülen Katilaştırma Hızları.

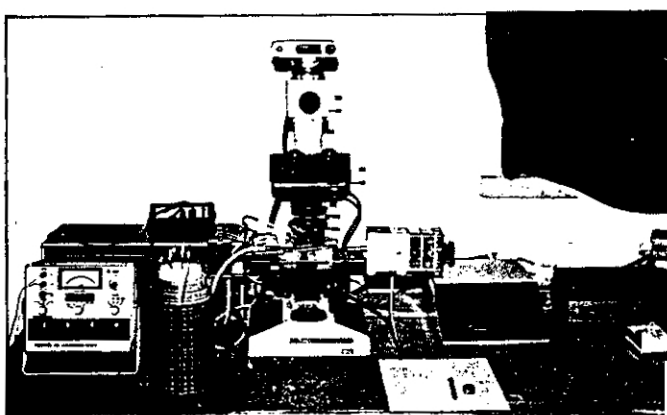
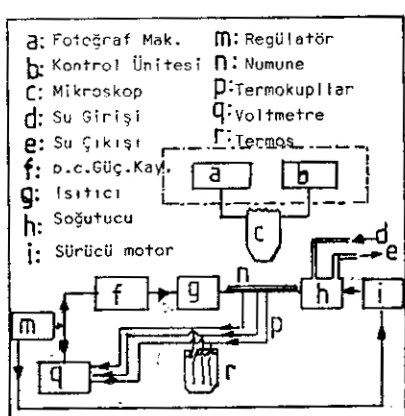
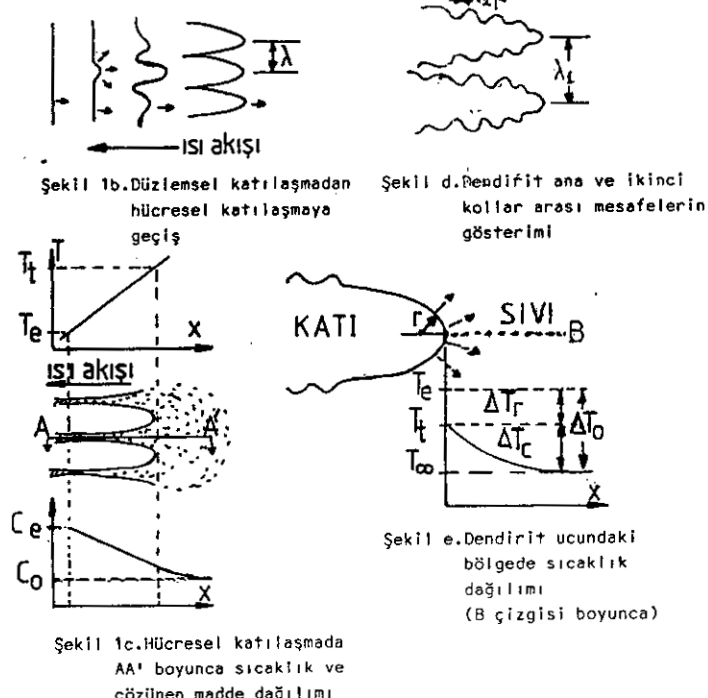
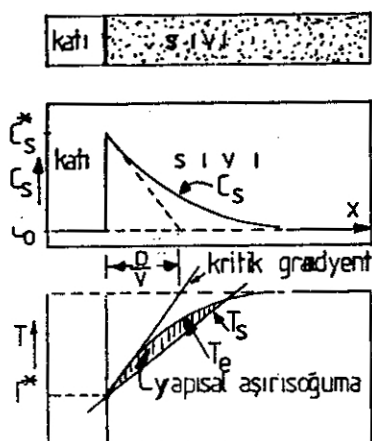
G_{12} (°C/cm)	G_{23} (°C/cm)	X_1 (cm)	X_2 (cm ²)	X_3 (cm)	t (sn)	Vkat.hızı (cm/sn)x10 ⁻³	Vmot.hızı (cm/sn)x10 ⁻³
21.66	-	4.01	3.41	2.67	417	1.43	2.05
-	2.70	4.01	3.41	2.67	255	2.9	2.05
19.57	-	3.83	3.60	3.0	137	1.67	4.12
75	-	3.83	3.60	3.0	165	1.39	4.12
26.25	3.83	3.60	3.0	250		2.4	4.12
8.33	3.83	3.60	3.0	80		7.5	4.12

Tablo-2. Farklı G ve V için Ölçülen Anakollar Arası Mesafeler

G_L (°C/cm)	$V_{K,H}$ (cm/sn)x10 ⁻³	Ortalama Hücreler Arası Mesafe (cm)x10 ⁻²	VG_L λ (°C/sn)x10 ⁻³	Ölçüm Sayısı n
43.0	1.60	3.33 ± 0.53	68.8	11
45.5	1.59	2.96 ± 0.51	72.35	15
61.1	1.64	2.84 ± 0.69	100.20	15
74.0	1.67	2.49 ± 0.86	123.88	33
84.0	1.57	2.47 ± 0.67	131.88	13

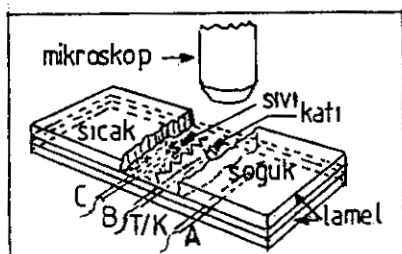
Tablo-3. G_L , VG ve λ 'nın Logaritmik Değerleri

G_L (°C/cm)	$\ln G_L$	VG (°C/sn)x10 ⁻³	$\ln(VG)$	λ (°C/sn)x10 ⁻³	$\ln \lambda$
43.0	3.76	68.8	-2.67	3.33	-3.40
45.5	3.82	72.35	-2.63	2.96	-3.52
61.1	4.11	100.20	-2.30	2.84	-3.56
74.0	4.30	123.58	-2.09	2.49	-3.69
84.0	4.43	131.88	-2.03	2.47	-3.70

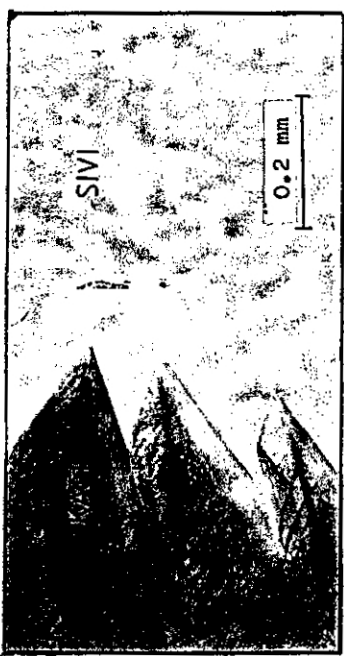


Şekil 2a. Deney sisteminin blok diyagramı

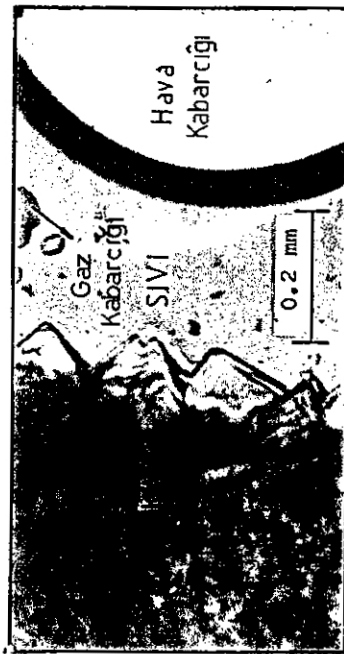
Şekil 2b. Deney Sisteminin Komple Görünüşü



Şekil 3. Katılışma olayının Mikroskop ile incelenmesi



Şekil.4a. Hücresel katılışma. (Benzofenon)



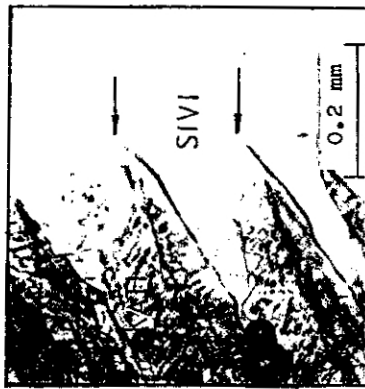
Şekil.4b. Katılışmada hava kabarcığı (Benzomide)



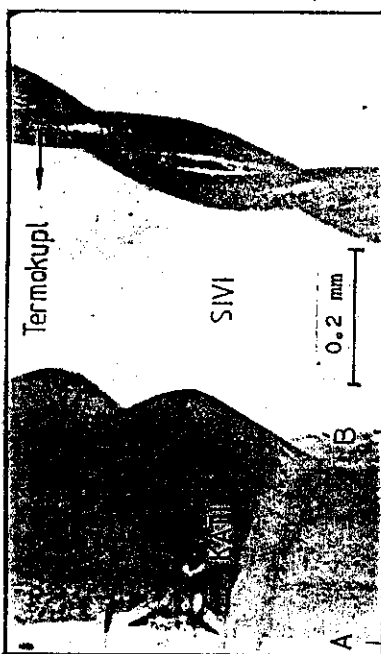
Şekil.4c. Düzensiz katılışma
(Mandelilik asit)



Şekil.5. Düzensiz ısı akışının etkisi

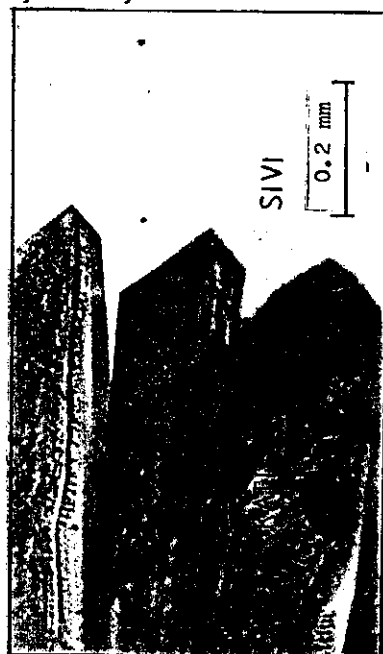


Şekil.6. Yönlendirilmiş olarak
katılışırılan numunenin tekrar
erimesi



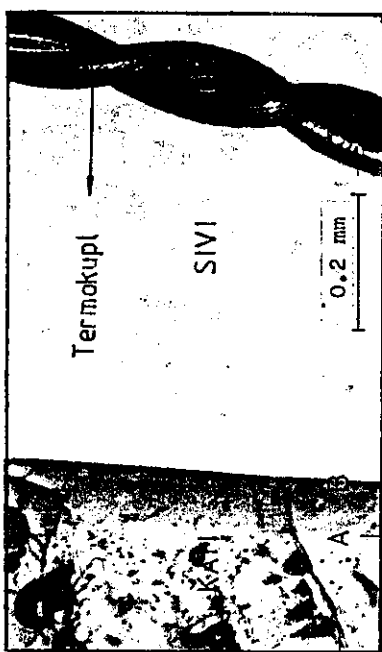
Sekil 7a. Düzlemsel katılılaşma A: Orijinal K-S arayüzü

B : Düzlemsel K-S arayüzü

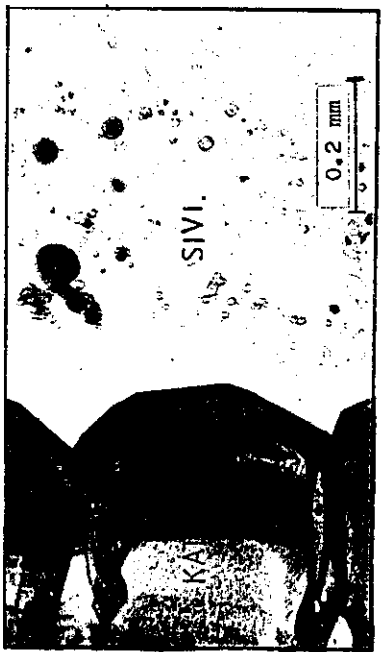


Sekil 7b. Düzlemsel katılışmada hıcresel katılışma geçiş.
B : İlk şırıntıların oluşturduğu K-S arayüzü

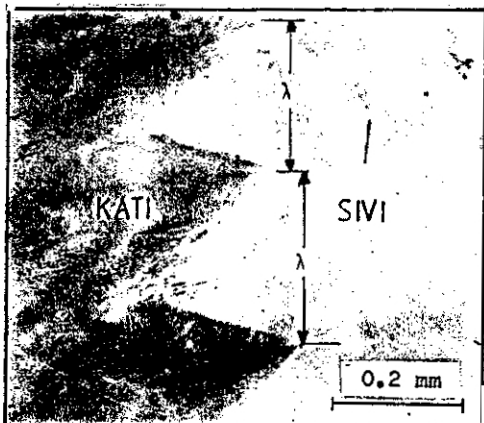
Sekil 8b. Kararsız katkılaşma.



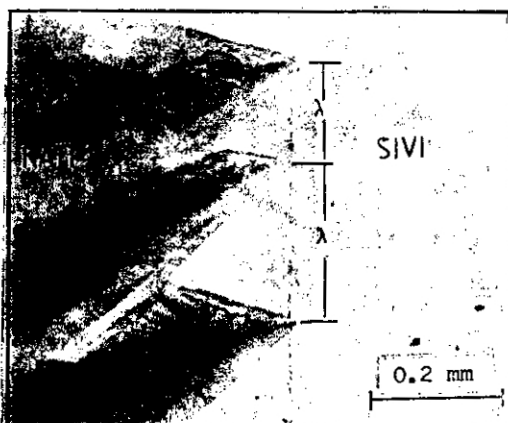
Sekil 8a. K-S arayüzünün kararlı hale gelmeden önceki durumu.



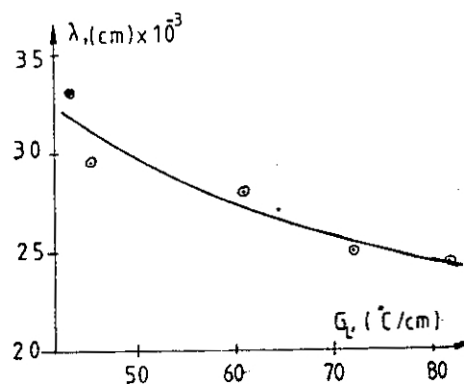
Sekil 8b. Kararsız katkılaşma.



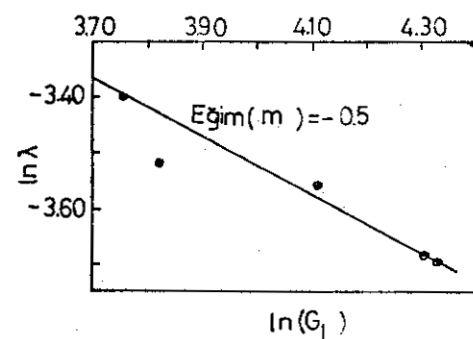
Şekil.9a. Kararlı hücresel katılışma



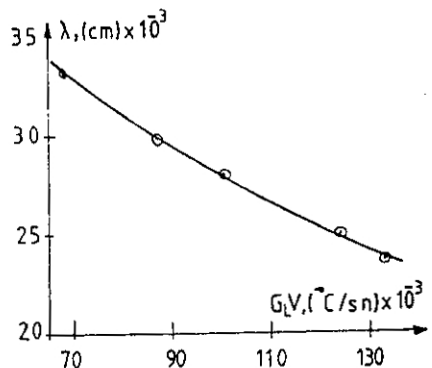
Şekil.9b. kararlı katılışmada λ farklılıklar



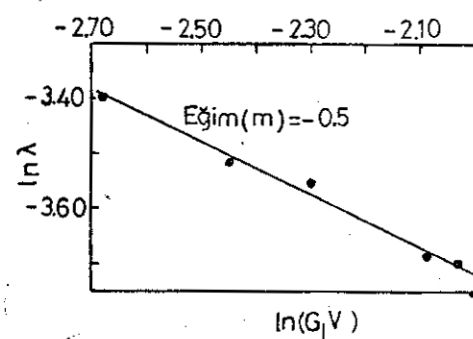
Şekil.10. Anakollar arası mesafenin G_L bağıllığı



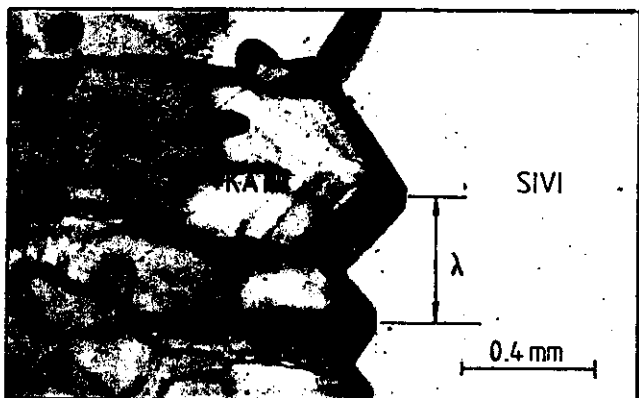
Şekil.11. Anakollar arası mesafenin G_L bağıllığı (logaritmik olarak).



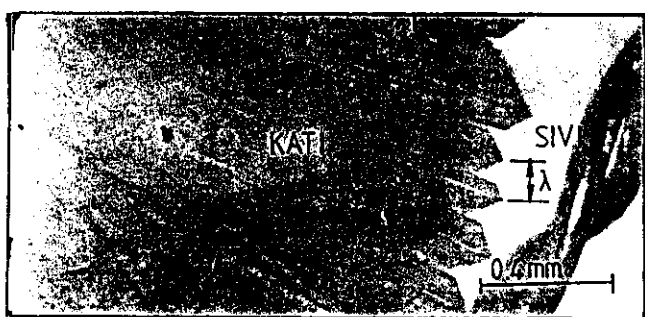
Şekil.12a. Anakollar arası mesafenin (G_LV) 'ye bağıllığı



Şekil.12b. Anakollar arası mesafenin (G_LV) 'ye bağıllığı (logaritmik olarak).



a) $G_L = 45^{\circ}\text{C}/\text{cm}$



b) $G_L = 84^{\circ}\text{C}/\text{cm}$



c) $G_L = 129^{\circ}\text{C}/\text{cm}$

Şekil.13. Sıcaklık gradyentinin anakollar arası mesafelere etkisi.